



LLUVIAS



CENEPRED

Centro Nacional de Estimación, Prevención y
Reducción del Riesgo de Desastres

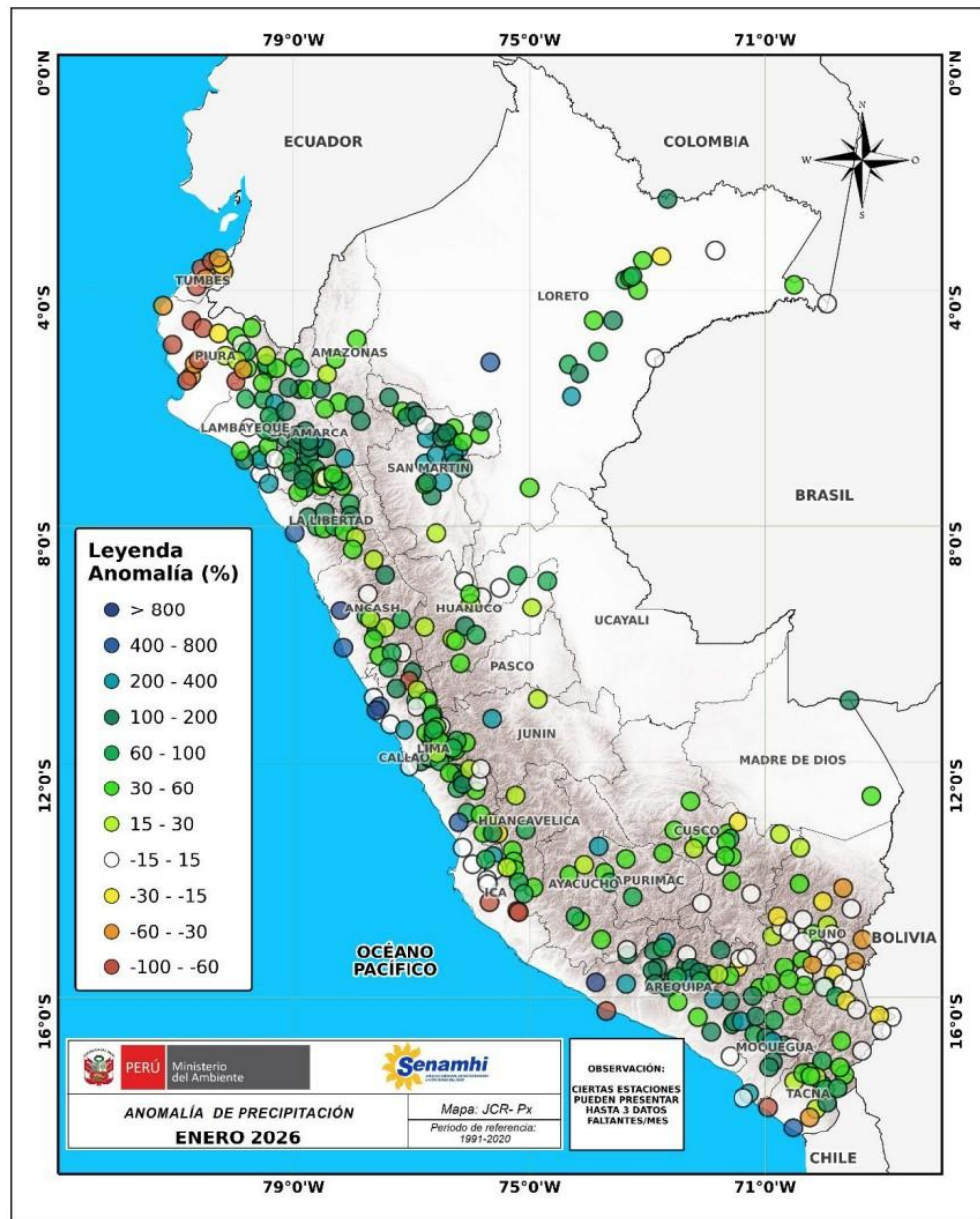
**ESCENARIO DE RIESGO
ANTE EL PRONÓSTICO DE
LLUVIA EN LA SELVA**

DEL 11 AL 13 DE FEBRERO DE 2026

I. COMPORTAMIENTO DE LAS PRECIPITACIONES A NIVEL NACIONAL

En enero de 2026, se registraron superávits de precipitación superiores al 100% en gran parte del territorio nacional. Destacaron anomalías positivas mayores al 400% en estaciones meteorológicas como Trujillo (La Libertad), Buena Vista y Huarmey (Ancash), Unjf Sanchez Carrión, Sosci Cañete y Alcantarilla (Lima), así como La Yarada (Tacna), entre otros. En contraste, se observaron anomalías negativas entre -60% y -100% en diversas estaciones meteorológicas, principalmente en la costa, la sierra central y sierra sur del país.

Figura 01: Frecuencia e Intensidad de lluvias de enero 2026.



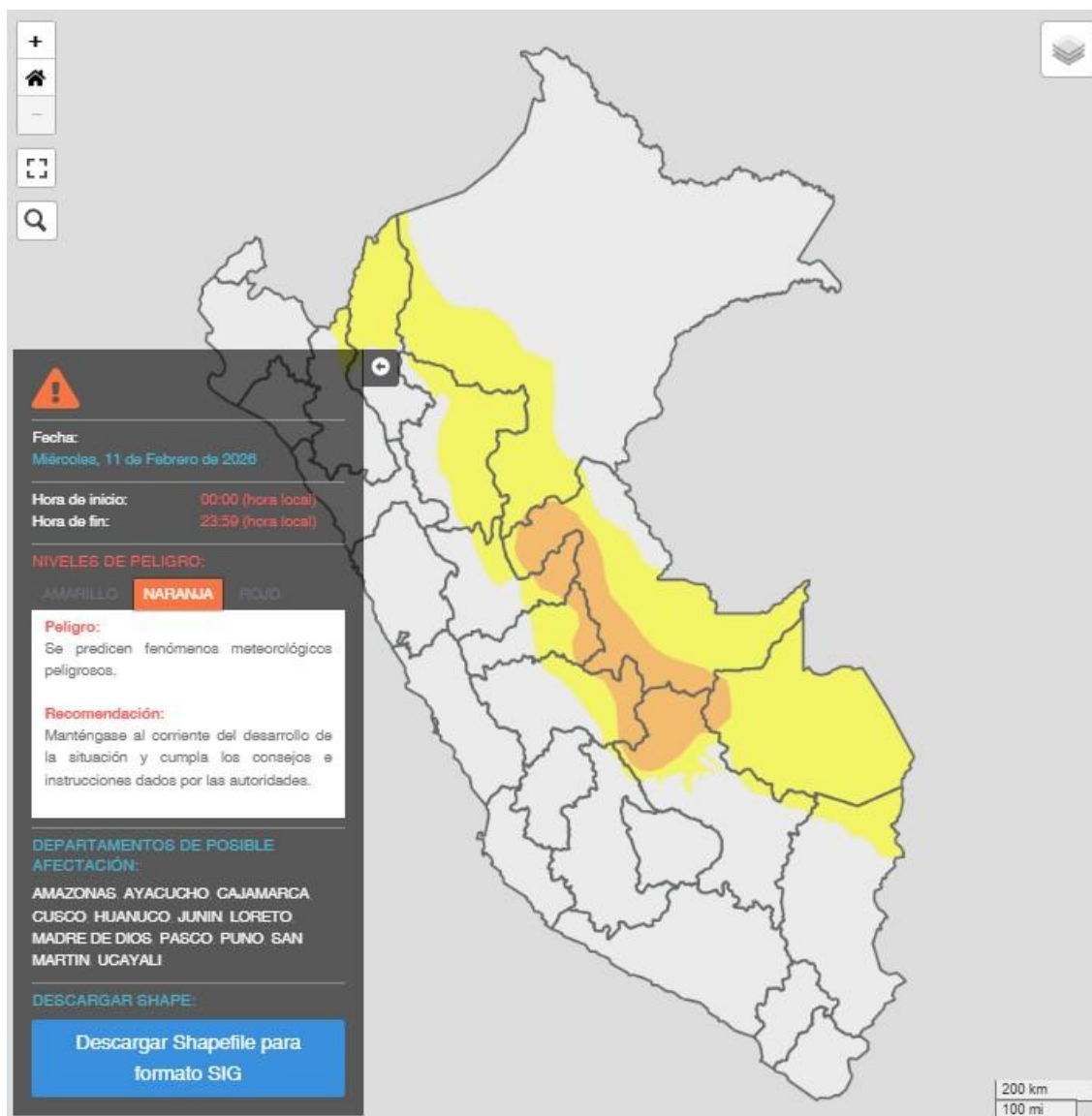
Fuente: SENAMHI (Enero, 2026).

II. PERSPECTIVAS

El SENAMHI informa que, desde el miércoles 11 al viernes 13 de febrero, se espera la presencia de lluvias, de moderada a fuerte intensidad, en la selva. Esta lluvia estará acompañada de descargas eléctricas y ráfagas de viento con velocidades cercanas a los 45 km/h.

El miércoles 11 de febrero se prevén acumulados de lluvia cercanos a los 40 mm/día en la selva norte y valores próximos a los 60 mm/día en la selva centro y selva sur.

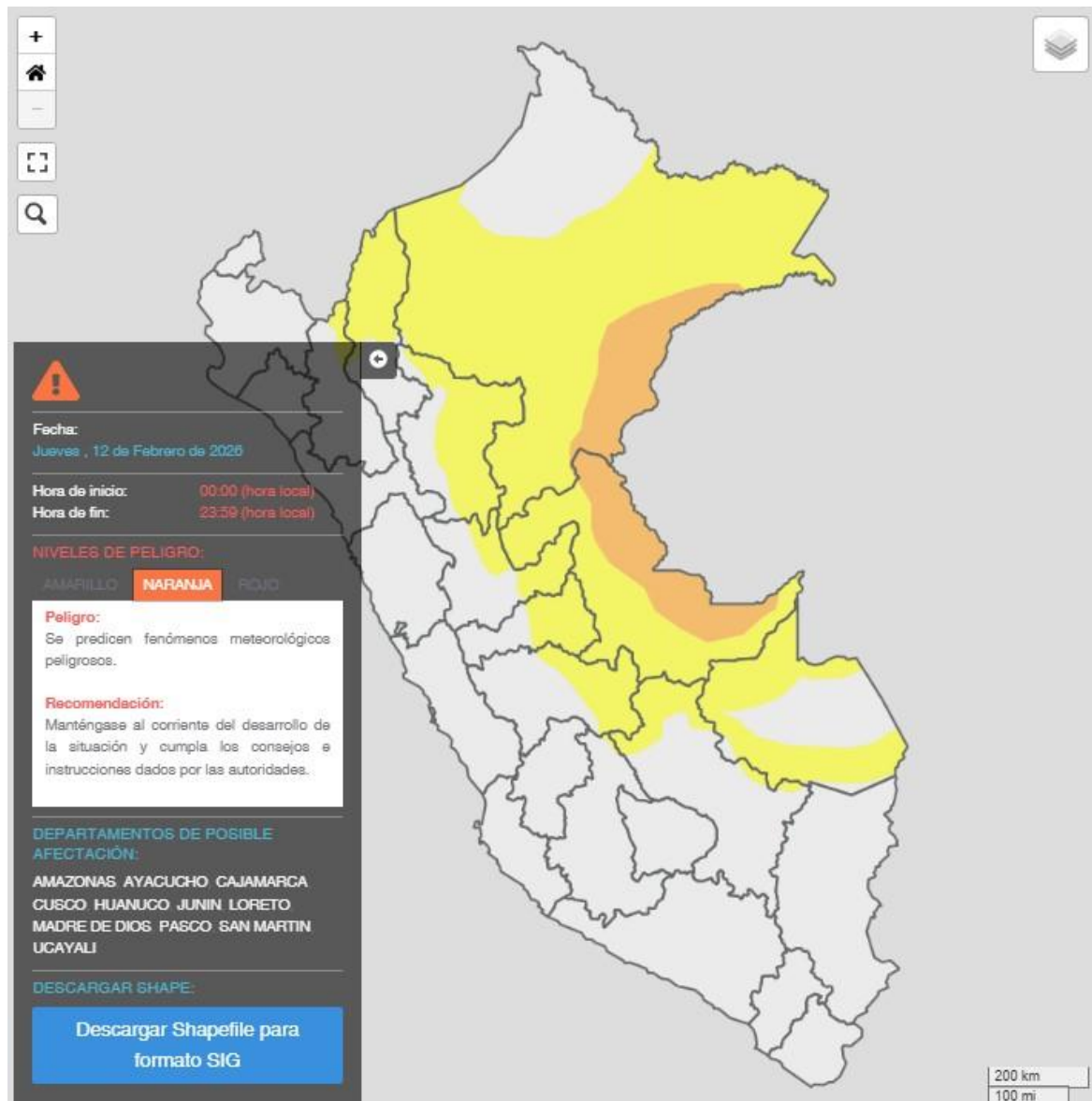
Figura 2. Pronóstico de lluvia en la selva del 11 de febrero de 2026



Fuente: SENAMHI Aviso Meteorológico N°044

El jueves 12 de febrero, se prevén acumulados de lluvia cercanos a los 45 mm/día en la selva norte, alrededor de los 55 mm/día en la selva central y valores próximos a los 60 mm/día en la selva sur.

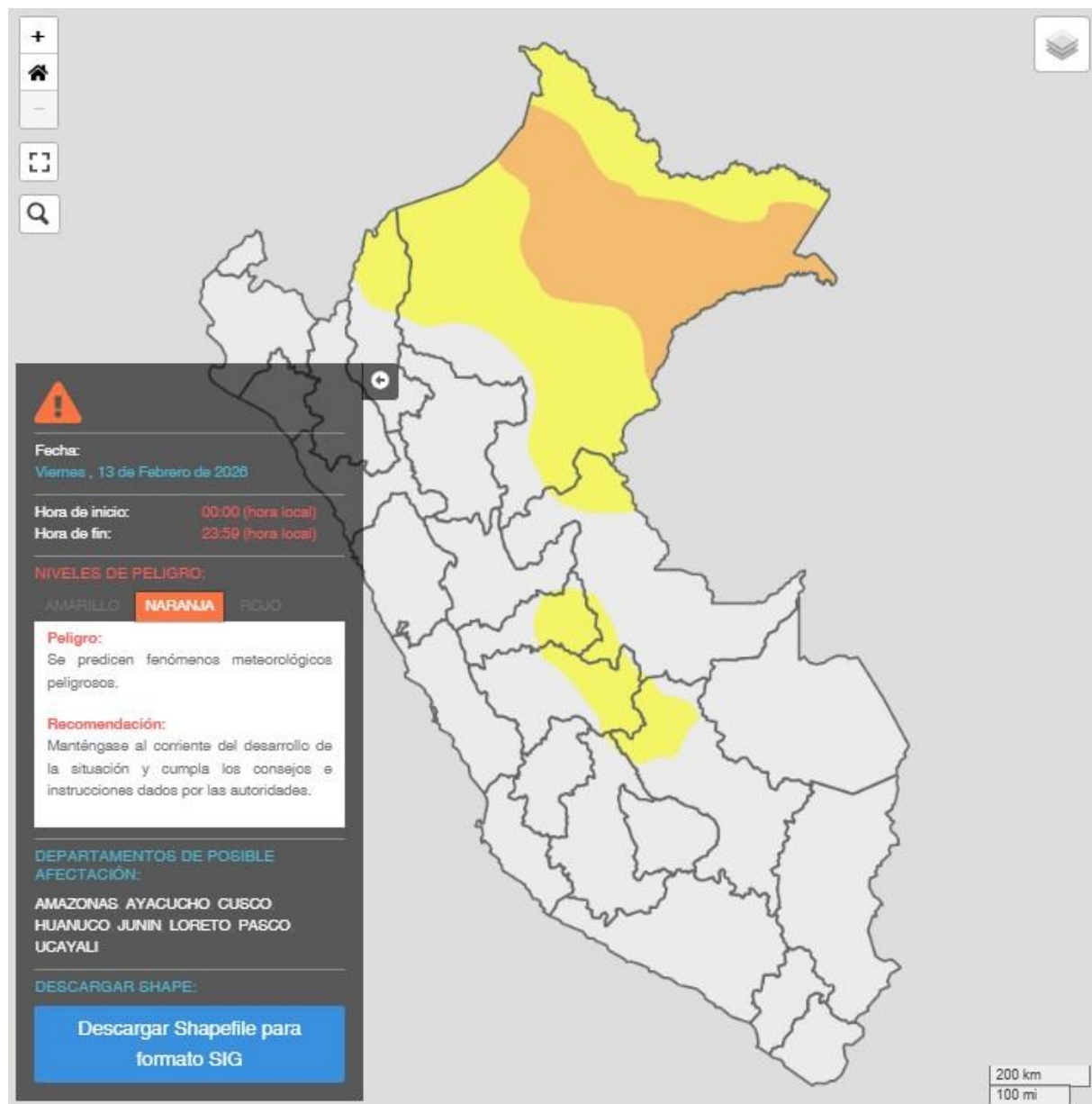
Figura 3. Pronóstico de lluvia en la selva del 12 de febrero del 2026



Fuente: SENAMHI Aviso Meteorológico N° 044

El viernes 13 de febrero, se prevén acumulados de lluvia próximos a los 50 mm/día en la selva norte, y valores cercanos a los 40 mm/día en la selva centro y selva sur.

Figura 4. Pronóstico de lluvia en la selva del 13 de febrero del 2026



Fuente: SENAMHI Aviso Meteorológico N° 044

Para efectos de análisis se ha unido el ámbito de los diferentes días que implica el aviso, obteniendo un solo ámbito de exposición por los días de duración del aviso.

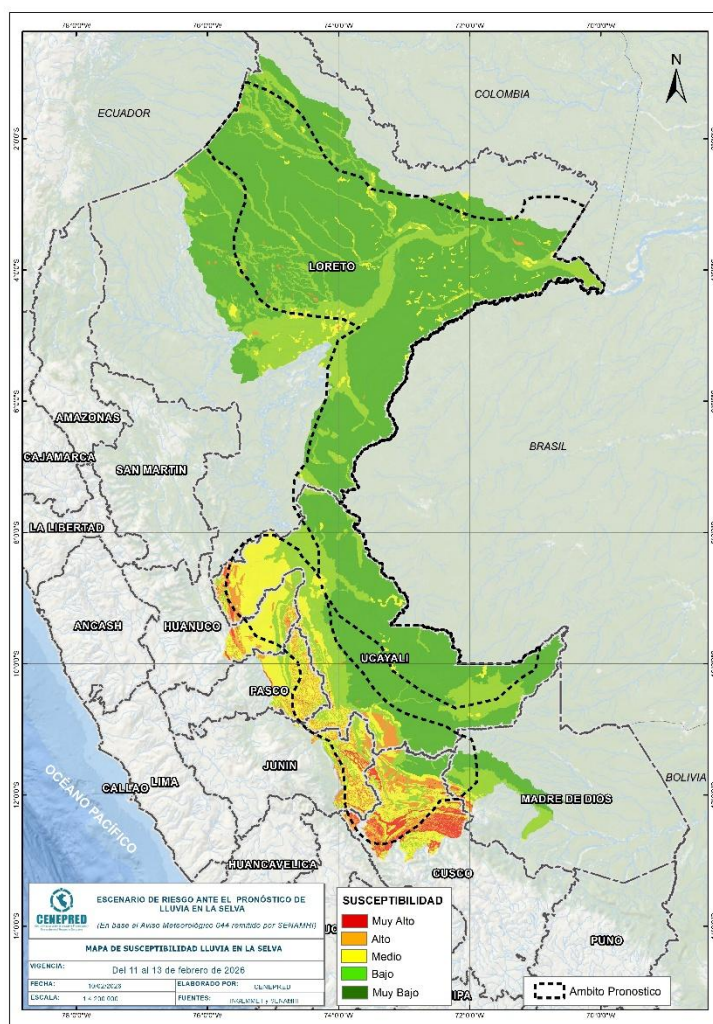
III. ESCENARIO DE RIESGO POR MOVIMIENTOS EN MASA

1 ANÁLISIS DE SUSCEPTIBILIDAD POR MOVIMIENTOS EN MASA

La probabilidad de la ocurrencia de lluvias de fuerte intensidad durante estos días, desencadenarían la posible presencia de deslizamientos, flujos de detritos (huaycos) u otro tipo de movimientos en masa, que traería consigo situaciones de riesgo. No obstante, no se descarta la presencia de estas en las zonas donde se prevé condiciones normales o de déficit de lluvias.

Para la identificación de los ámbitos con mayor propensión a estos eventos se ha tomado como base el Mapa de Susceptibilidad a Movimientos en Masa¹ (INGEMMET).

Figura 5. Susceptibilidad a movimientos en masa en la selva



Fuente: CENEPRED, elaborado con información del INGEMMET y SENAMHI

¹ Cabe destacar que los mapas de susceptibilidad por movimientos en masa, si bien identifican áreas donde se pueden generar potencialmente tales eventos, en ellos no figura la totalidad de zonas a ser afectadas, ni predicen cuando ocurrirán los procesos analizados (Ayala-Carcedo y Olcinas 2002).

2 ANÁLISIS DE EXPOSICIÓN SOCIOECONÓMICA

En el análisis de exposición socioeconómica, se consideró como unidad mínima de análisis el ámbito distrital. Las variables utilizadas son incidencia de pobreza, tasa de analfabetismo y tasa de desnutrición crónica infantil.

El valor de exposición se obtuvo mediante el análisis con sistemas de información geográfica (SIG), con la finalidad de poder representarlo cartográficamente.

Se estimó el valor de importancia (ponderación) de cada uno de los parámetros mediante el Proceso de Análisis Jerárquico (método de Saaty). Posteriormente, se determinó para cada parámetro los respectivos descriptores, representados por sus quintiles, estimándose también para estos una ponderación mediante el mismo método.

Este procedimiento se muestra en la Tabla 1, dando como resultado el valor de exposición para cada distrito.

Tabla 1. Matriz de ponderación utilizada para la evaluación de los niveles de exposición.

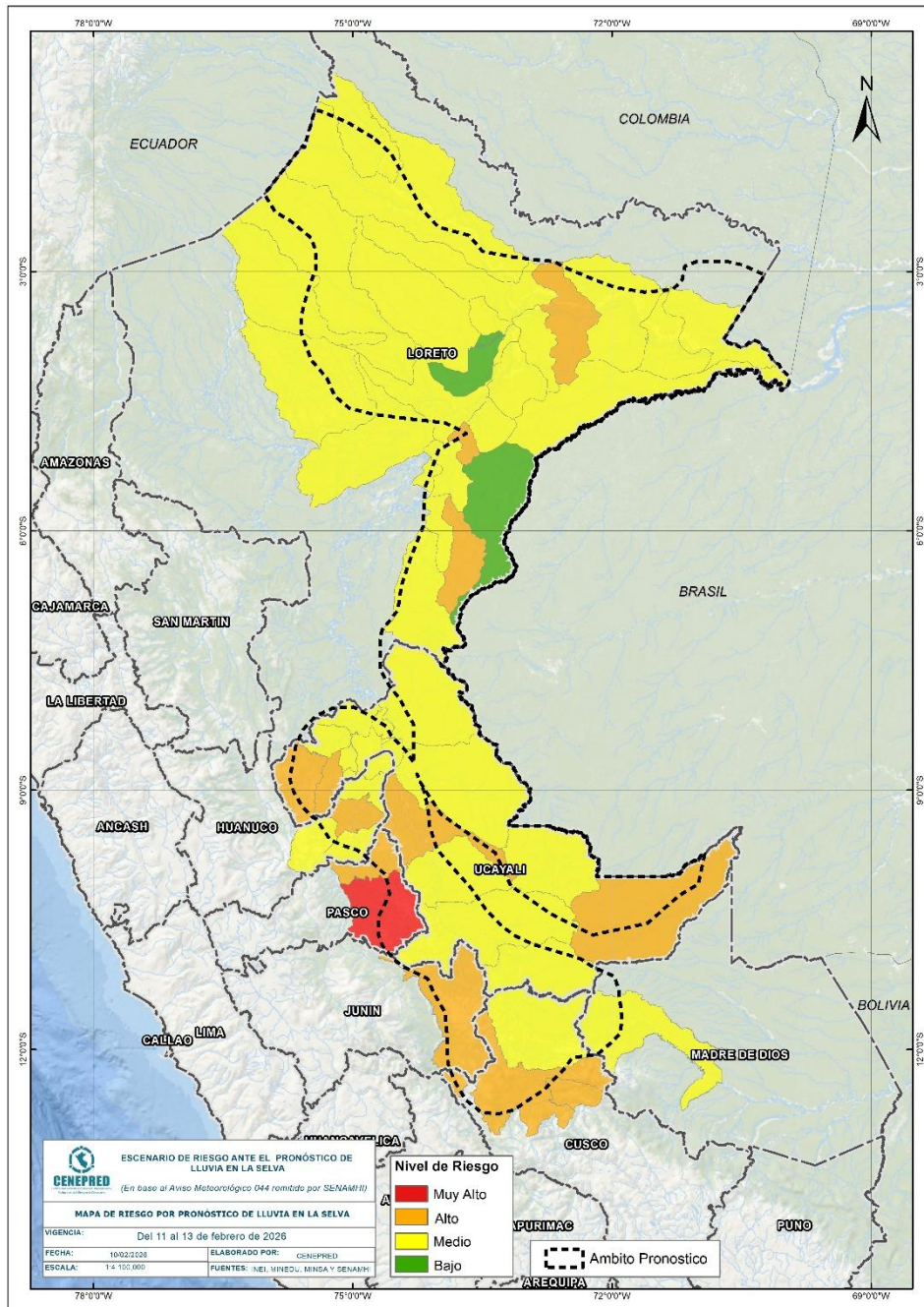
Descriptor	Parámetros de evaluación										Rango	Nivel de exposición
	Incidencia de pobreza	Valor	Peso	Tasa de Desnutrición Crónica	Valor	Peso	Tasa de Analfabetismo	Valor	Peso	Valor de exposición		
D5	Mayor a 63.8%	0.459	0.608	34.2% a 61.7%	0.416	0.272	20.8% a 45.5%	0.432	0.120	0.444	0.262 < R <= 0.444	Muy Alto
D4	50.7% a 63.7%	0.259	0.608	26.0% a 34.1%	0.262	0.272	14.1% a 20.7%	0.283	0.120	0.262	0.153 < R <= 0.262	Alto
D3	36.3% a 50.6%	0.150	0.608	19% a 25.9%	0.161	0.272	9.6% a 14.0%	0.152	0.120	0.153	0.089 < R <= 0.153	Medio
D2	21.8% a 36.2%	0.085	0.608	9.1% a 18.9%	0.099	0.272	5.4% a 9.5%	0.086	0.120	0.089	0.051 < R <= 0.089	Bajo
D1	Menor a 21.8%	0.047	0.608	Menor a 9.1%	0.062	0.272	Menor a 5.4%	0.048	0.120	0.051		

Fuente: CENEPRED, elaborado con información del INEI y el MINSA.

3. ESCENARIO PROBABLE DE RIESGO POR MOVIMIENTOS EN MASA

Una vez identificado los niveles de susceptibilidad a movimientos en masa y los niveles de exposición de la población, a nivel distrital, se procede a la conjunción de ambos factores para el cálculo de la probabilidad del riesgo (Tabla 2).

Figura 6. Escenario de riesgo por movimientos en masa según el pronóstico de lluvia en la selva



Fuente: CENEPRED



Finalmente, se presentan los resultados del escenario de riesgo por movimientos en masa en la Tabla 2.

Tabla 2. Elementos expuestos por departamentos según su nivel de riesgo.

Nivel de Riesgo		Muy Alto					Alto				
DEPARTAMENTOS		Elementos expuestos									
		Cantidad Distritos	Población	Viviendas	Establec. Salud	Instituc. Educativas	Cantidad Distritos	Población	Viviendas	Establec. Salud	Instituc. Educativas
1	CUSCO	0	0	0	0	0	3	59,216	17,699	56	305
2	HUANUCO	0	0	0	0	0	1	9,407	2,509	9	66
3	JUNIN	0	0	0	0	0	1	26,036	6,863	29	274
4	LORETO	0	0	0	0	0	3	13,209	2,704	8	134
5	PASCO	1	17,249	4,322	25	180	1	13,634	3,642	15	104
6	UCAYALI	0	0	0	0	0	4	52,842	13,040	53	309
TOTAL GENERAL		1	17,249	4,322	25	180	13	174,344	46,457	170	1,192

Fuente: CENEPRED, elaborado con la información del INEI*, MINSA** y MINEDU***

*INEI: Cálculo de población y vivienda según Censos Nacionales 2017: XII de Población y VII de Vivienda

**MINSA: Base RENIPRESS, febrero 2026

***MINEDU: ESCALE, febrero 2026



IV. ESCENARIO DE RIESGO POR INUNDACIONES

1 ANÁLISIS DE SUSCEPTIBILIDAD POR INUNDACIONES

La probabilidad de la ocurrencia de lluvias de fuerte intensidad durante estos días, desencadenarían la posible presencia de inundaciones, que traería consigo situaciones de riesgo. No obstante, no se descarta la presencia de estas en las zonas donde se prevé condiciones normales o de déficit de lluvias.

Para la identificación de los ámbitos con mayor propensión a estos eventos se consolidó los mapas de susceptibilidad a inundaciones a nivel regional, elaborado por el INGEMMET, los cuales consideran como factores condicionantes: la geomorfología y la pendiente del terreno.

Los ámbitos de susceptibilidad muy alta y alta se caracterizan principalmente por presentar llanuras aluviales, planicies, altiplanos, terrazas aluviales, entre otros.

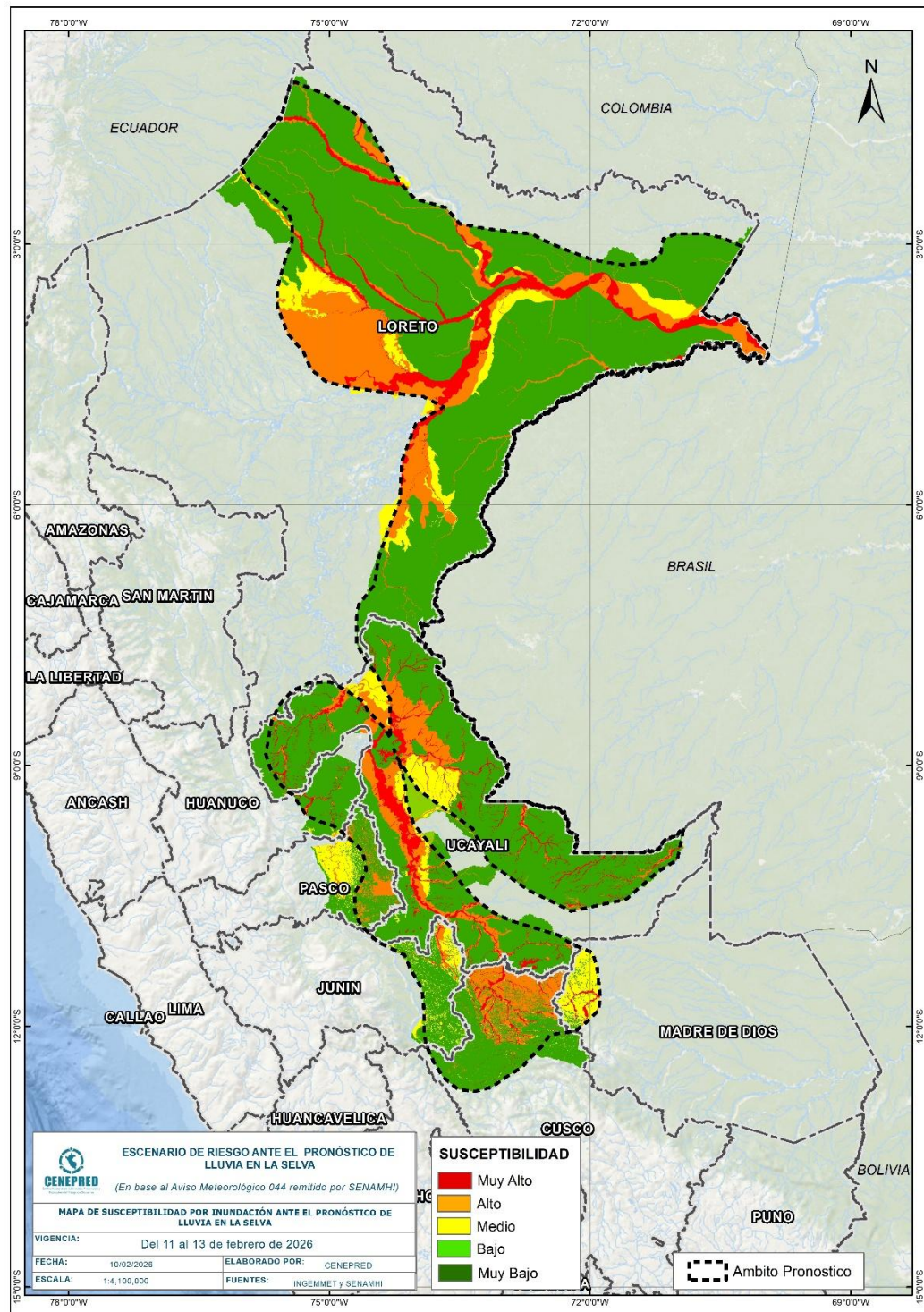
2 ESCENARIO PROBABLE DE RIESGO POR INUNDACIONES

Una vez identificado los niveles de susceptibilidad a inundación en el ámbito de las cuencas afectadas en la Figura 7. se procede a realizar el análisis de los niveles de exposición de la población, vivienda, establecimientos de salud e instituciones educativas a nivel de centros poblados.

De acuerdo al análisis de exposición y considerando el pronóstico se generó la Tabla 3, encontrándose que los departamentos con nivel de riesgo **Muy Alto** comprenden una población expuesta de 134.508 habitantes; 35.972 viviendas; 145 establecimientos de salud y 1.403 instituciones educativas.

Los departamentos con nivel de riesgo **Alto** comprenden una población expuesta de 242.752 habitantes; 69.472 viviendas; 124 establecimientos de salud y 1.081 instituciones educativas.

Figura 7. Escenario de riesgo por inundaciones en el ámbito del pronóstico de lluvia en la selva del 11 al 13 de febrero del 2026



Fuente: CENEPRED



Tabla 3. Elementos expuestos por departamentos según su nivel de riesgo por inundación.

Nivel de Riesgo		Muy Alto				Alto					
DEPARTAMENTOS		Elementos expuestos									
		Centros Poblados	Población	Viviendas	Establec. Salud	Instituc. Educativas	Centros Poblados	Población	Viviendas		
1	CUSCO	28	7,183	1,543	17	63	14	2,056	719	9	40
2	HUANUCO	20	3,594	1,292	2	29	17	3,140	1,082	6	21
3	JUNIN	5	1,070	304	1	20	27	6,979	1,892	11	70
4	LORETO	424	69,315	17,142	55	751	272	43,254	10,914	37	502
5	PASCO	2	146	42	0	3	49	5,996	1,680	15	91
6	UCAYALI	302	53,200	15,649	70	537	207	181,327	53,185	46	357
TOTAL GENERAL		781	134,508	35,972	145	1,403	586	242,752	69,472	124	1,081

Fuente: CENEPRED, elaborado con la información del INEI*, MINSA** y MINEDU***

*INEI: Cálculo de población y vivienda según Censos Nacionales 2017: XII de Población y VII de Vivienda

**MINSA: Base RENIPRESS, enero 2026

***MINEDU: ESCALE, enero 2026

El CENEPRED actualizará esta información de acuerdo a los avisos meteorológicos remitidos por del SENAMHI. El resultado de esta información se encuentra disponible en el Sistema de Información para la Gestión del Riesgo de Desastres - SIGRID, y a través de la página web del CENEPRED <https://cenepred.gob.pe/web/escenario-riesgos/> para su descarga a fin de dar a conocer de manera detallada los parámetros utilizados.